

信州大学 学生会員 荒川 宗二

〃 正会員 草間 孝志

〃 正会員 大上 俊之

1. まえがき 境界要素法を用いて、曲線境界をもつ構造物を解析する場合、境界形状をできるだけ忠実に表現することによって、解の精度の向上を図ることができる。内挿関数としては一般に多項式が用いられている。一方、形の表現に有限フーリエ変換を用いる方法がある<sup>1)</sup>。本報告は2次元境界要素法に有限フーリエ級数を応用する方法について述べ、数値計算例によりその有効性を検討したものである。

2. 境界形状の有限フーリエ近似 境界上のある要素が0からnまでのn+1個の節点を含んでいるものとし、要素内の節点jの座標を(x<sub>j</sub>, y<sub>j</sub>)とする。いま、節点間ベクトルを式(1)で定義すると、x<sub>j</sub>, y<sub>j</sub>は式(2)で与えられる。

$$\begin{aligned} u_j &= x_{j+1} - x_j \\ v_j &= y_{j+1} - y_j \end{aligned} \quad ] \quad (1)$$

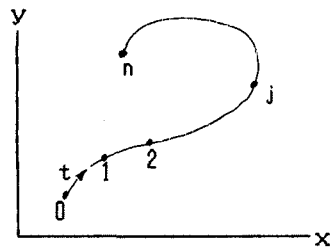


図-1 曲線要素

$$x_j = x_0 + \sum_{r=0}^{j-1} u_r, \quad y_j = y_0 + \sum_{r=0}^{j-1} v_r \quad (j=1, 2, 3, \dots, n) \quad (2)$$

ここで、ベクトルのx成分u<sub>j</sub>を有限フーリエ級数で表現すると、nが偶数の場合

$$u_j = \frac{A_{x0}}{2} + \sum_{k=1}^{n/2-1} [A_{xk} \cos(\frac{2\pi k j}{n}) + B_{xk} \sin(\frac{2\pi k j}{n})] + \frac{A_{xn/2}}{2} \cos(\pi j) \quad (3)$$

ここに、

$$A_{xk} = \frac{2}{n} \cdot \sum_{j=0}^{n-1} [u_j \cos(\frac{2\pi k j}{n})] \quad (k=0 \sim n/2), \quad B_{xk} = \frac{2}{n} \cdot \sum_{j=0}^{n-1} [u_j \sin(\frac{2\pi k j}{n})] \quad (k=1 \sim n/2-1) \quad (4)$$

である。A, Bの第1添字xはx成分uに関するフーリエ係数であることを示す。vについても同様にして求められる。式(2),(3),(4)よりx<sub>j</sub>を求め、離散値x<sub>j</sub>を連続なx(t)になおすと次式を得る。

$$\begin{aligned} x(t) &= x_0 + \frac{A_{x0}}{2} t + \frac{A_{xn/2}}{4} [1 - \cos(\pi t)] \\ &+ \sum_{k=1}^{n/2-1} \left[ \frac{\sin(t \lambda_k)}{\sin \lambda_k} [A_{xk} \cos((t-1) \lambda_k) + B_{xk} \sin((t-1) \lambda_k)] \right] \end{aligned} \quad (5)$$

ここに、λ<sub>k</sub> = πk/nである。また、A<sub>xk</sub>, B<sub>xk</sub>は次のようになる。nが奇数のときも同様である。

$$\begin{aligned} A_{xk} &= \frac{2}{n} \left[ -x_0 + x_n \cdot \cos(2\lambda_k) + 2 \sum_{j=1}^{n-1} [(\sin((2j-1)\lambda_k) \cdot \sin \lambda_k) x_j] \right] \\ B_{xk} &= \frac{2}{n} \left[ -x_n \cdot \sin(2\lambda_k) - 2 \sum_{j=1}^{n-1} [(\cos((2j-1)\lambda_k) \cdot \sin \lambda_k) x_j] \right] \end{aligned} \quad (6)$$

3. 内挿関数  $(\Phi)^T$  を内挿関数とすると、式(5)、(6) より  
 $(\Phi)^T$  の要素  $\Phi_j$  は  $n$  が偶数の場合には次のようになる。

$$\Phi_0 = \frac{1}{n} \left[ \frac{1}{2} - t - \sum_{k=1}^{N-1} \frac{\sin[(2t-1)\lambda_k]}{\sin\lambda_k} \right] + \frac{\cos(t\pi)}{2n} + \frac{1}{2}$$

$$\Phi_j = \frac{\sin[(n-1)\zeta]}{n \cdot \sin\zeta} + \frac{\cos(n\zeta)}{n} \quad (1 \leq j \leq n-1)$$

$$\Phi_n = \frac{1}{n} \left[ \frac{1}{2} + t + \sum_{k=1}^{N-1} \frac{\sin[(2t+1)\lambda_k]}{\sin\lambda_k} \right] + \frac{\cos(t\pi)}{2n} - \frac{1}{2}$$

ここに、 $N = n/2$  である。図-2, 3 は  $\Phi_j$  の一例である。

4. 数値計算例 境界要素法に適用する前に次の簡単な計算を行った。図-4 は  $(0, -0.5), (1, 0), (0, 0.5), (-1, 0)$  の4点を通る閉曲線・内挿関数を用いると梢円になる。境界を  $\Gamma$  とすると曲線長は

$$S = \int_{\Gamma} d\Gamma = \int_0^{\pi} |J| dt, \quad |J| = \text{ヤコビアン}$$

で与えられる。節点間に分点数4のガウスルジャンドルの積分公式を適用すると、 $S = 4.84446$  を得る。第2種完全梢円積分による正解値は4.84426である。次に、内圧をうける厚肉円筒の境界要素法による解法に適用し、線形要素の解と比較した。

図-5 に線形要素とF要素(フーリエ級数要素)の要素分割を示す。数値積分の条件をできるだけ同じにするため、両者とも(節点間の数)  $\times$  (分点数) = 192とした。連立方程式は線形要素では96元、F要素では32元になる。計算結果を図-6 と図-7 に示す。図-6 は  $r$  方向の変位、図-7 は  $\sigma_{\theta}$  の分布を図示したものである。図には厳密解を実線で示した。F要素の場合には、境界近くの内部点の値もよく一致していることがわかる。

5. あとがき 簡単な計算例ではあったが、妥当性が検証された。内挿関数を有限フーリエ級数で表現することにより一種の高次要素とみなされるので、解の精度を高めることが期待できる。

参考文献 1)上坂：かたちのスペクトル分析

，数理科学，サイエンス社，1983。2)大上、三井、草間：境界要素法の移動境界問題への適用、境界要素法論文集、第2巻、1985。3)草間、大上：有限フーリエ級数による2次元境界要素法の内挿関数について、土木学会中部支部研究発表会、1986。

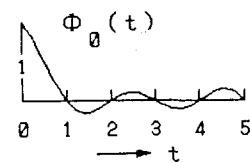
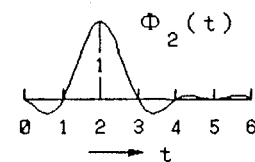
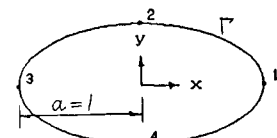
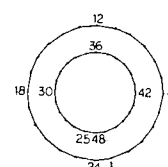
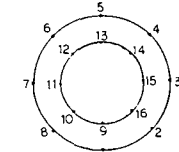
図-2  $\Phi_0$  ( $n = 5$  のとき)図-3  $\Phi_2$  ( $n = 6$  のとき)

図-4 4節点による梢円



線形要素

要素数: 48  
節点数: 48  
分点数: 4



有限フーリエ級数要素

要素数: 2  
節点数: 16  
分点数: 12

図-5 要素分割図

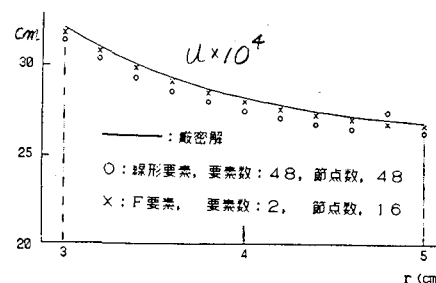
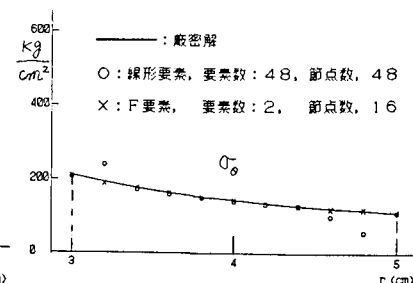


図-6 変位分布

図-7  $\sigma_{\theta}$  分布